# SVT, ÉPREUVE SUR SUPPORT DE DOCUMENTS Durée : 3 h 30

Partie géologie Durée indicative : 1 h 45

L'usage d'abaques, de tables, de calculatrice et de tout instrument électronique susceptible de permettre au candidat d'accéder à des données et de les traiter par les moyens autres que ceux fournis dans le sujet est interdit.

Chaque candidat est responsable de la vérification de son sujet d'épreuve : pagination et impression de chaque page. Ce contrôle doit être fait en début d'épreuve. En cas de doute, il doit alerter au plus tôt le surveillant qui vérifiera et, éventuellement, remplacera le sujet.

Ce sujet comporte 10 pages numérotées de 1 à 10 et une annexe au format A3, à rendre avec la copie.

Si, au cours de l'épreuve, un candidat repère ce qui lui semble être une erreur d'énoncé, il le signale sur sa copie et poursuit sa composition en expliquant les raisons des initiatives qu'il a été amené à prendre.

## Géologie dans quelques îles : Guernesey, Jersey, Groix, Oléron

Ce sujet est constitué de trois thèmes totalement indépendants.

- Le candidat s'appuiera essentiellement sur une analyse des documents pour répondre aux questions posées.
- Le candidat ne doit pas rédiger de longs développements de ses connaissances, indépendamment de l'exploitation des documents et des questions posées.
- La concision des réponses et l'exploitation des documents sans paraphrase seront valorisées.
- Les îles sont situées dans l'extrait de carte cicontre, qui n'est pas à analyser.

#### **Bibliographie**:

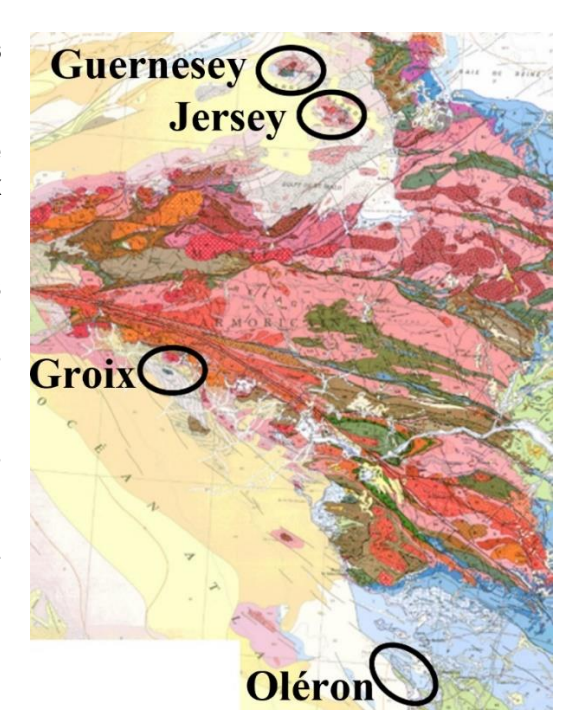
Bosse et al. (2002) J Petrology 43 485-510

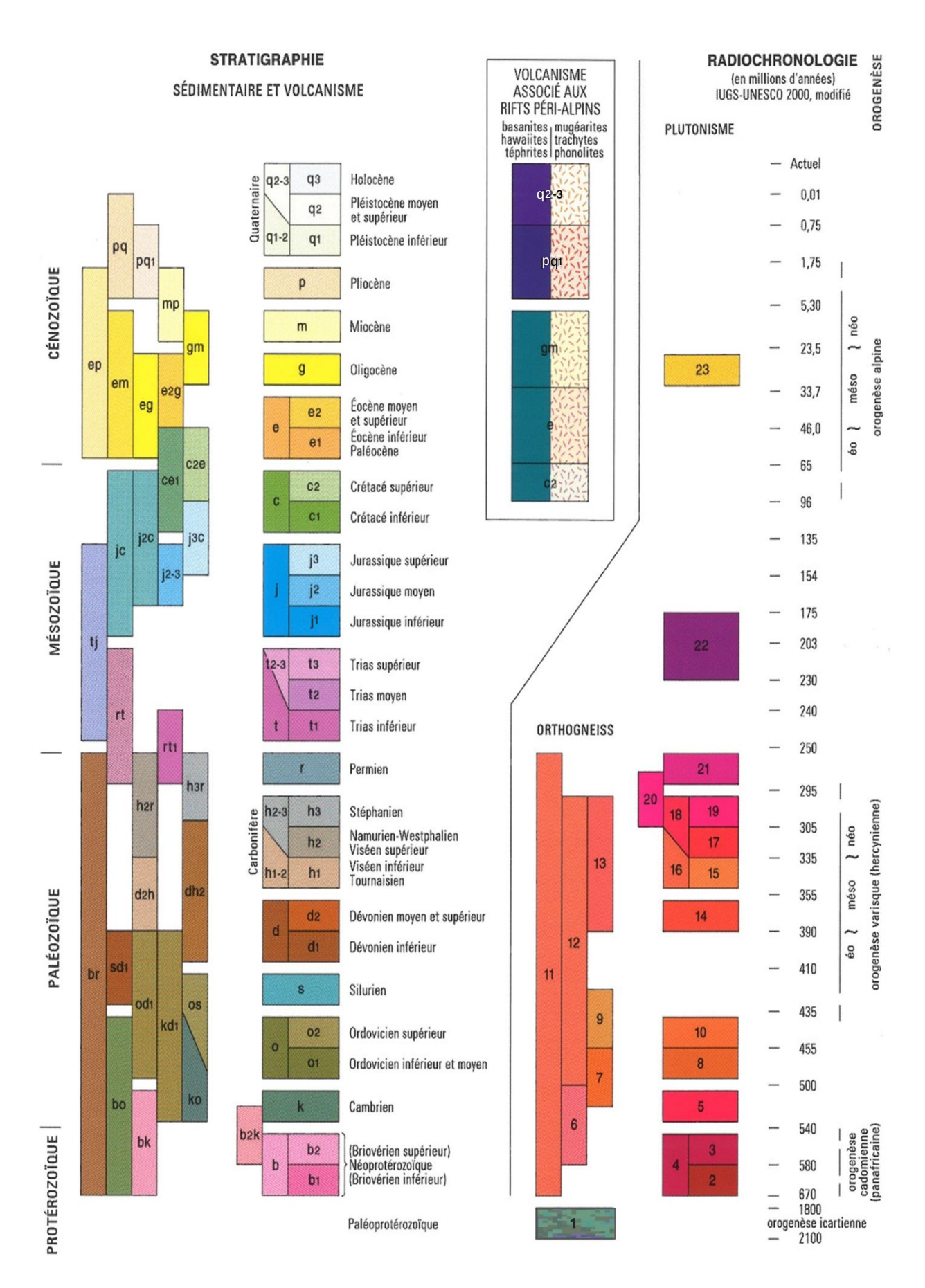
Bureau de Recherches Géologiques et Minières Guerrot et al. (1990) Geol. Society **51** 13-26 Key (1977) *Mineralogical M* **41** 183-192 Key (1987) *Mineralogical M* **51** 217-229 Miller et al. (2001) Geol. Society **158** 243-251 Topley et al. (1984) *J Geol. Society* **141** 595 – 598

https://planet-terre.ens-lyon.fr/

https://mpourcher5.wixsite.com/e-svt e-SVT - M Pourcher

http://jerseygeologytrail.net/index.shtm





Légendes de la carte géologique de la France au millionième (1/2)

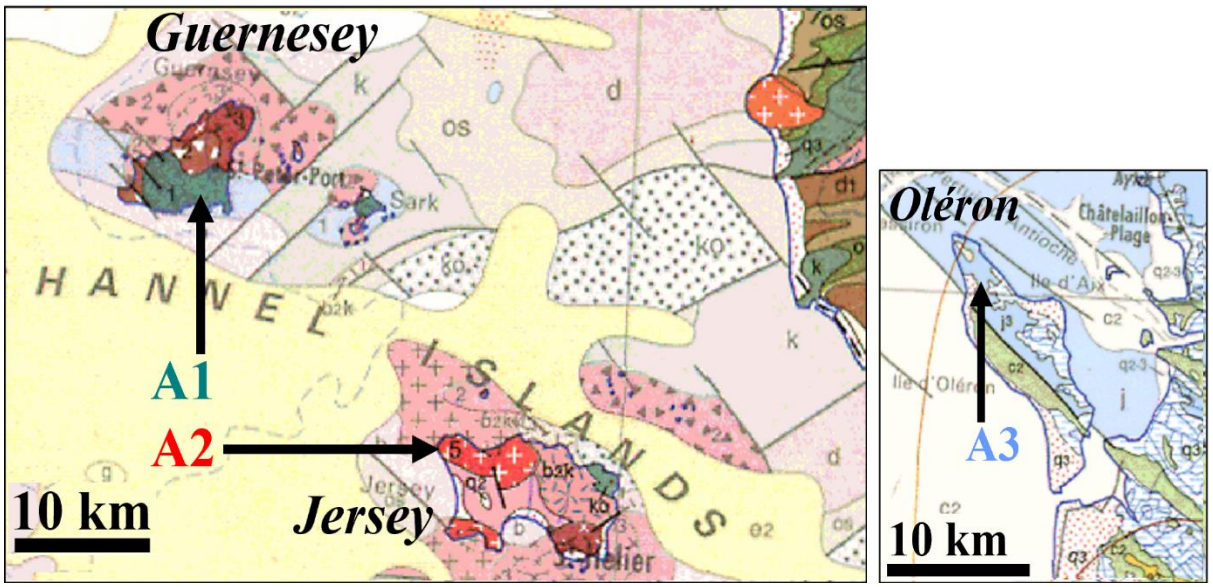
#### (figurées par des surcharges sur les couleurs) SÉDIMENTAIRE Faciès spéciaux du Quaternaire Dépôts fluvio-marins (du domaine émergé) Dunes et cordons littoraux Sables des Landes (sur substrat cénozoïque) Dépôts glaciaires Autres Faciès à spécificité régionale Dépôts marins : Sables de Fontainebleau (g) et Pliocène (p) du pourtour méditerranéen Brèches marines paléocènes remaniant le Mésozoïque métamorphique des Pyrénées Faciès urgonien (c1) du bassin subalpin • Flyschs varisques et alpins (1 : flyschs à blocs, mégaturbidites, complexes chaotiques) MÉTAMORPHISME Los caractères métamorphiques des terrains sont symbolisés par des figurés dont la couleur indique l'âge de l'orogenèse, la forme indique le faciès du métamorphisme, et l'orientation correspond à la principale foliation régionale / néo-varisque cadomien éo-alpin / alpin méso-varisque Âge: / mésocrétacé pyrénéen permo-triasique sud-alpin oligo-miacène lépantin N. B. Dans les Alpes les faciès de haute pression sont privilégiés bien qu'ils soient généralement rétromorphosés l'orogenèse néo-varisque est prise comme exemple Faciès schiste vert en domaine de nappes Faciës amphibolite (paragneiss, orthogneiss) de basse et Faciès granulite de basse pression 1 : Relique éo-varisque Faciès schiste bleu Faciès éclogite (et schiste bleu de haute température) de haute pression \*2 ecrograque 2 : Relique éo-alpine à coésite MAGMATISME Les caractères magmatiques des terrains sont symbolisés par des figurés dont la couleur indique la nature chimique : Volcanisme acide : bleu ; basique : vert Plutonisme acide : blanc ; basique : noir tholéiitique à calco-alcalin (basaltes, andésites, rhyolites) magmatisme carbonifère (h2, 17) est pris comme exemple tholéiitique à calco-alcalin (gabbros, tonalites, granites) de marge active Volcanisme Plutonisme tholéiitique à peralcalin (basaltes, dacites, rhyolites) tholéiitique à peralcalin (gabbros, monzonites, granites) d'extension continentale Gabbros, basaltes $\left.\begin{array}{l} \\ 1: alpines \end{array} \right. \ 2: varisques$ d'accrétion océanique Ophiolites Péridotites (sauf granitoïdes) calco-alcalin à alcalin (basaltes à rhyolites) 1 : microgranites indifférenciés 2 : gabbros, diorites, tonalites de collision continentale Granitoïdes des orogènes de collision Leucogranites Granitoides 1 : Avec indication d'une foliation syn-à post-mise en place Complexe varisque leptyno-amphibolique ub A Péridotites Formations particulières Principaux champs filoniens (1 : cadomiens : 2 : méso-varisques : 3 : néo-varisques ) ÉLÉMENTS STRUCTURAUX Accidents et failles Faille normale, détachement Accident majeur Faille inverse, chevauchement en tiretés : accidents ou flexures masqués ou supposés Accident important Accident indifférencié Isobathes et structures profondes Isobathes de la base du Pliocène : bassin du Pô Isobathes de la base du Cénozoïque : fossé rhénan, bassins péri-alpins, bassin sous-pyrénéen, bassin de l'Ébre et golfe du Lion Isobathes de la base du Trias : bassin subalpin, bassins de Paris et d'Aquitaine, Manche, golfe de Gascogne Discontinuités géophysiques Diapirs et rides salifères Morphologies et autres structures Impactite de Rochechouart Caldeira volcanique probable Stratocône du Cantal \_\_\_\_\_ Incision messinienne Les terrains sont figurés avec leur "couleur chronologique" atténuée ; s'y ajoutent les terrains suivants : Complexe métamorphique indifférencié m Volcanisme sous-marin ligure ap Substratum anté-pliocène indifférencié N. B. Les failles et les figurés du métamorphisme et du magmatisme sont portés en teinte grise Morphologies et structures sous-marines Cicatrices d'arrachement Paléochenaux sous-marins Dômes de sel Masses glissées Éventails sous-marins Paléoréseau fluviatile messinien du golfe du Lion Extension sous couverture de la croûte océanique ligure

INFORMATIONS COMPLÉMENTAIRES

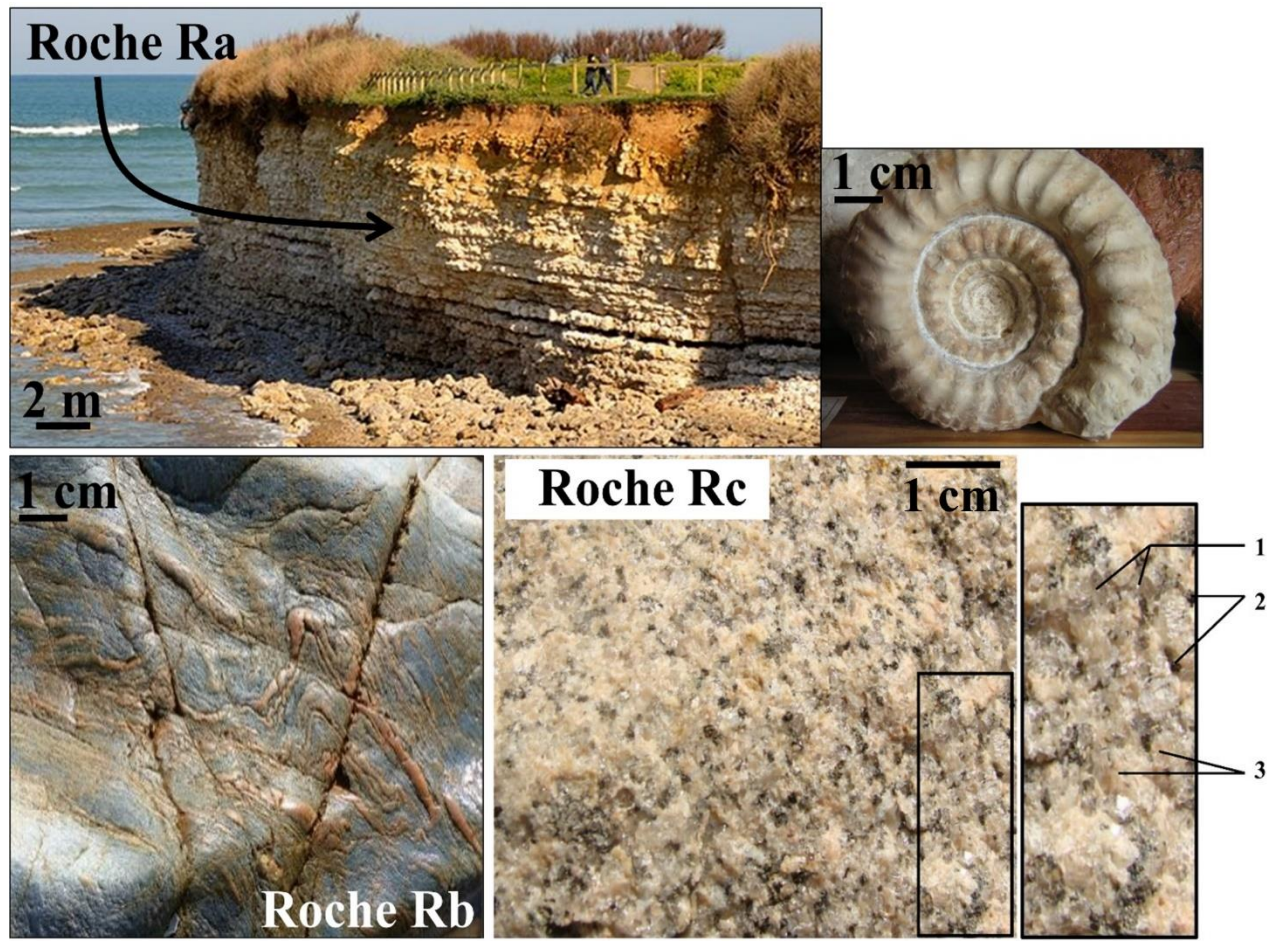
Légendes de la carte géologique de France au millionième (2/2)

## Thème 1 : Cartes, roches, datations (Guernesey, Jersey, Oléron)

On s'intéresse aux trois zones **A1** (sur l'île de Guernesey), **A2** (sur l'île de Jersey) et **A3** (sur l'île d'Oléron).



<u>Document 1</u>: Extraits de la carte géologique de la France au millionième (1996). Les légendes sont indiquées pages 2 et 3.



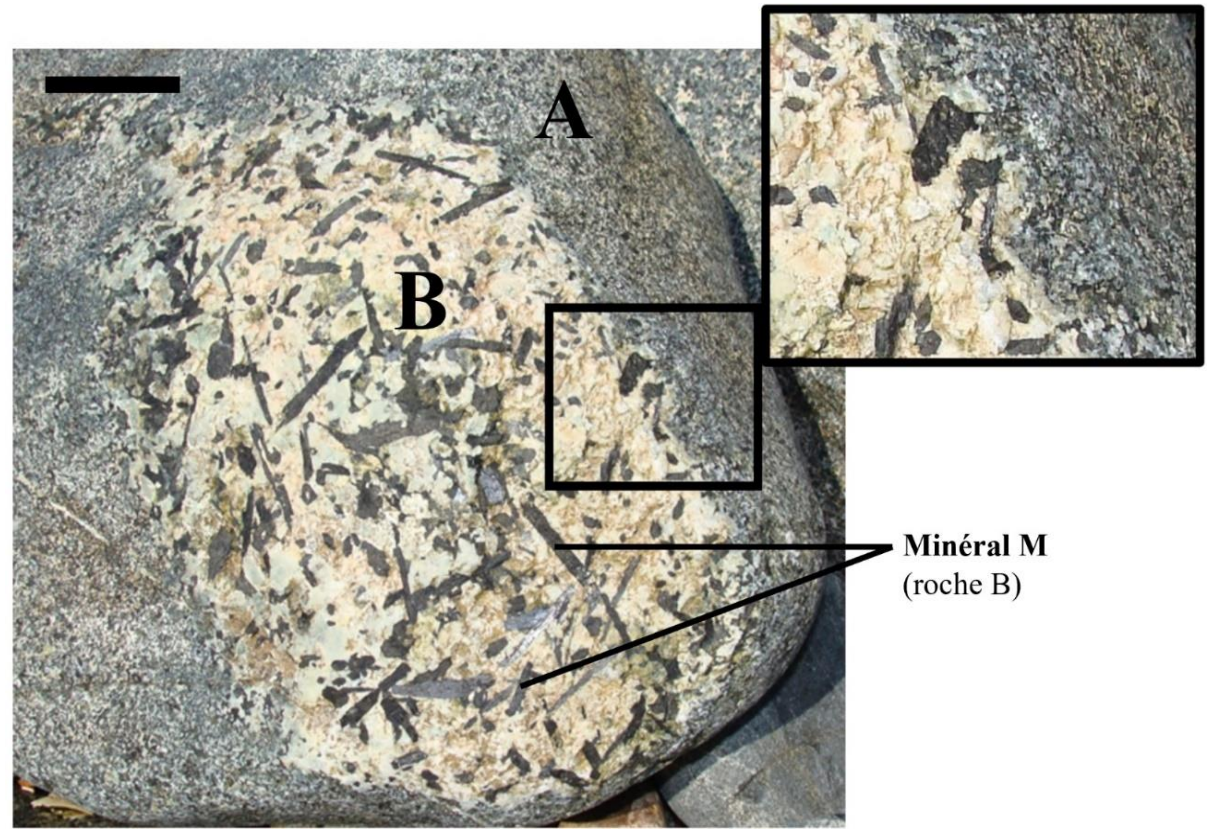
<u>Document 2</u>: Roches **Ra**, **Rb** et **Rc**. La roche Ra a livré plusieurs fossiles comme celui présenté à droite. <u>Chacune de ces roches correspond à une zone parmi A1, A2 et A3.</u>

#### Question 1:

Répertorier un maximum d'informations, extraites du document 1 et de sa légende (pages 2 et 3), relatives aux trois zones A1, A2 et A3, permettant de les décrire et les dater.

### Question 2 : À partir des données du document 2,

- Proposer un nom possible pour la roche Ra, ainsi que pour le fossile qu'elle a livré. Préciser ce que la présence de ce fossile permet de déduire.
- Proposer un nom possible pour la roche Rb, en justifiant.
- Nommer la roche Rc, ainsi que les minéraux 1, 2 et 3 qu'elle contient, en justifiant (un zoom des minéraux est présent dans l'annexe A3).
- Associer chacune des trois roches (Ra, Rb et Rc) à sa zone (A1, A2 et A3).



<u>Document 3</u>: Autre échantillon sur l'île de Jersey (barre d'échelle : 3 cm). On y voit une roche A sombre et une roche B claire. La roche A est une roche magmatique grenue, riche en amphiboles et plagioclases essentiellement. L'encart montre un zoom sur la « frontière » entre les roches A et B. La roche B est constituée des minéraux suivants :

Plagioclases: 54 % Quartz: 10 % Amphiboles: 30 % Biotites: 3 % Feldspaths alcalins: 2 % Autres: 1 %

#### Question 3:

- Nommer la roche A.
- Positionner la roche B dans le <u>document 4</u> présenté dans l'annexe, en expliquant la démarche suivie. Nommer la roche B ainsi que le minéral M.

La roche B présente sur l'île de Jersey une grande diversité dans ses compositions géochimiques et minéralogiques, mais on ne la trouve toujours qu'en association avec la roche A, comme dans le document 3.

Les roches A et B montrent plusieurs indices de parenté géochimique, mais les roches B sont relativement enrichies en  $SiO_2$ ,  $Na_2O$  et  $K_2O$ , par rapport à la roche A, à laquelle elles sont systématiquement associées.

#### Question 4:

- À l'aide de ces informations, ainsi que des documents 1 et 3 et des connaissances utiles, proposer une hypothèse sur l'origine possible de la roche B, ainsi que les mécanismes impliqués dans sa formation. Une réponse argumentée est attendue (répondre en une demipage maximum).
- Proposer une ou plusieurs analyses à faire pour tester cette hypothèse (justifier).

Dans l'annexe A3, le <u>document 5</u> correspond à une courbe de référence, où chaque point matérialise un âge, en millions d'années.

#### Question 5:

Nommer cette courbe de référence et expliquer succinctement pourquoi elle est d'allure croissante.

Les rapports <sup>207</sup>Pb/<sup>235</sup>U et <sup>206</sup>Pb/<sup>238</sup>U sont mesurés dans des minéraux (zircons) présents dans une roche récoltée sur l'île de Guernesey, ainsi que dans une autre roche récoltée sur l'île de Jersey.

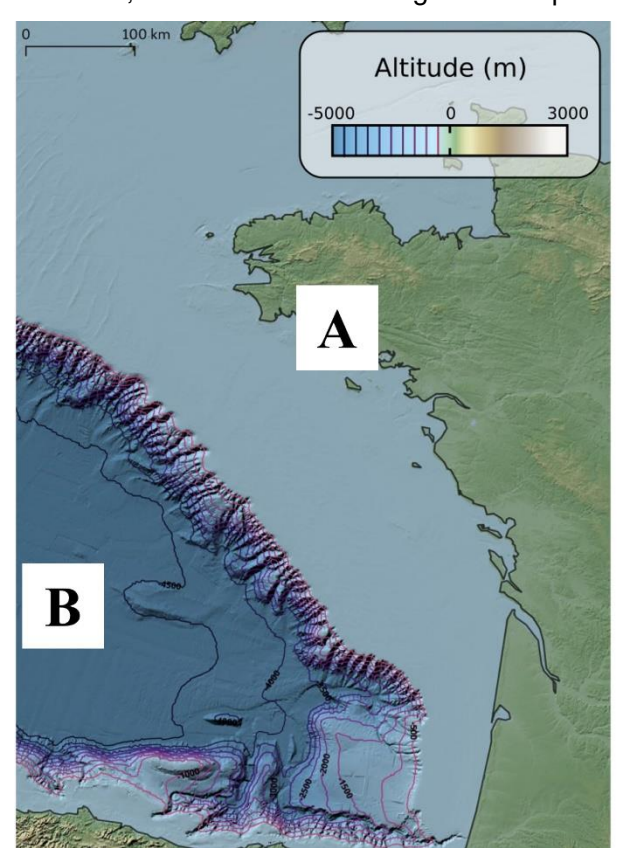
Document 6 :	<sup>207</sup> Pb/ <sup>235</sup> U	<sup>206</sup> Pb/ <sup>238</sup> U	
Dans la roche récoltée sur l'île de Guernesey :			
zircon 1	6,1	0,352	
zircon 2	5,23	0,304	
zircon 3	4,85	0,287	
zircon 4	4,27	0,255	
Dans la roche récoltée sur l'île de Jersey :			
tous les zircons donnent des résultats proches	$\approx 0.58 - 0.60$	≈ 0,075 – 0,076	

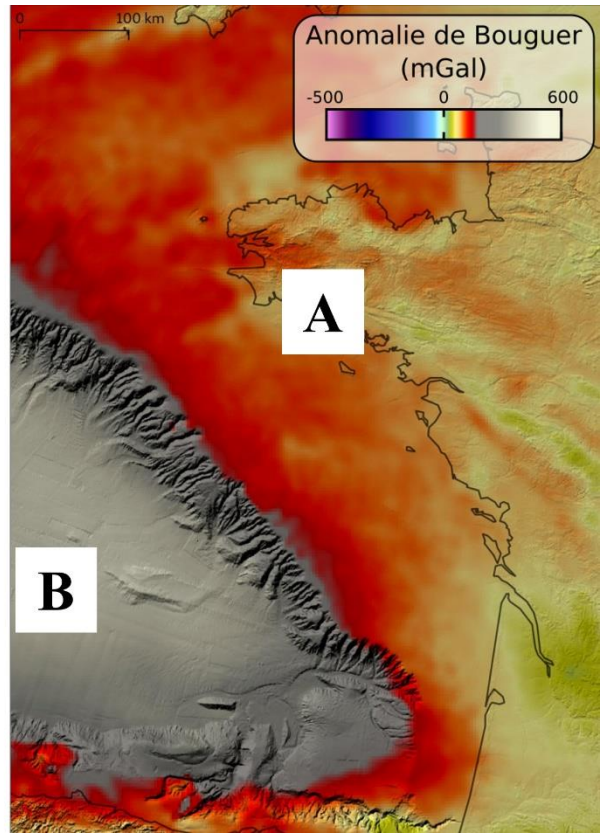
#### Question 6:

- Exploiter les documents 5 et 6 pour dater ces deux roches, en expliquant clairement la démarche suivie. Un travail graphique est attendu sur le document 5. Indiquer une signification possible des données concernant la roche récoltée sur l'île de Guernesey.
- Confronter les résultats obtenus avec ceux de la question 1 (zones A1 et A2).

### Thème 2 : Au large des îles

<u>Document 7</u>: À gauche, carte du relief et de la bathymétrie (profondeur), en mètres. À droite, carte des anomalies gravimétriques de Bouquer, en mGal.





**Le point A** se situe sur le plateau continental, de profondeur négligeable et d'altitude 0. On y considère une épaisseur de croûte continentale  $H_{CC}$ , de densité  $d_{CC}$ .

**Le point B** se situe dans l'océan, de profondeur (bathymétrie) p, en km. On y considère une épaisseur  $H_{CO}$  de croûte océanique, de densité  $d_{CO}$ . La densité de l'eau est notée  $d_e$ ; les sédiments océaniques sont négligés.

La densité du manteau lithosphérique est notée d<sub>ML</sub>.

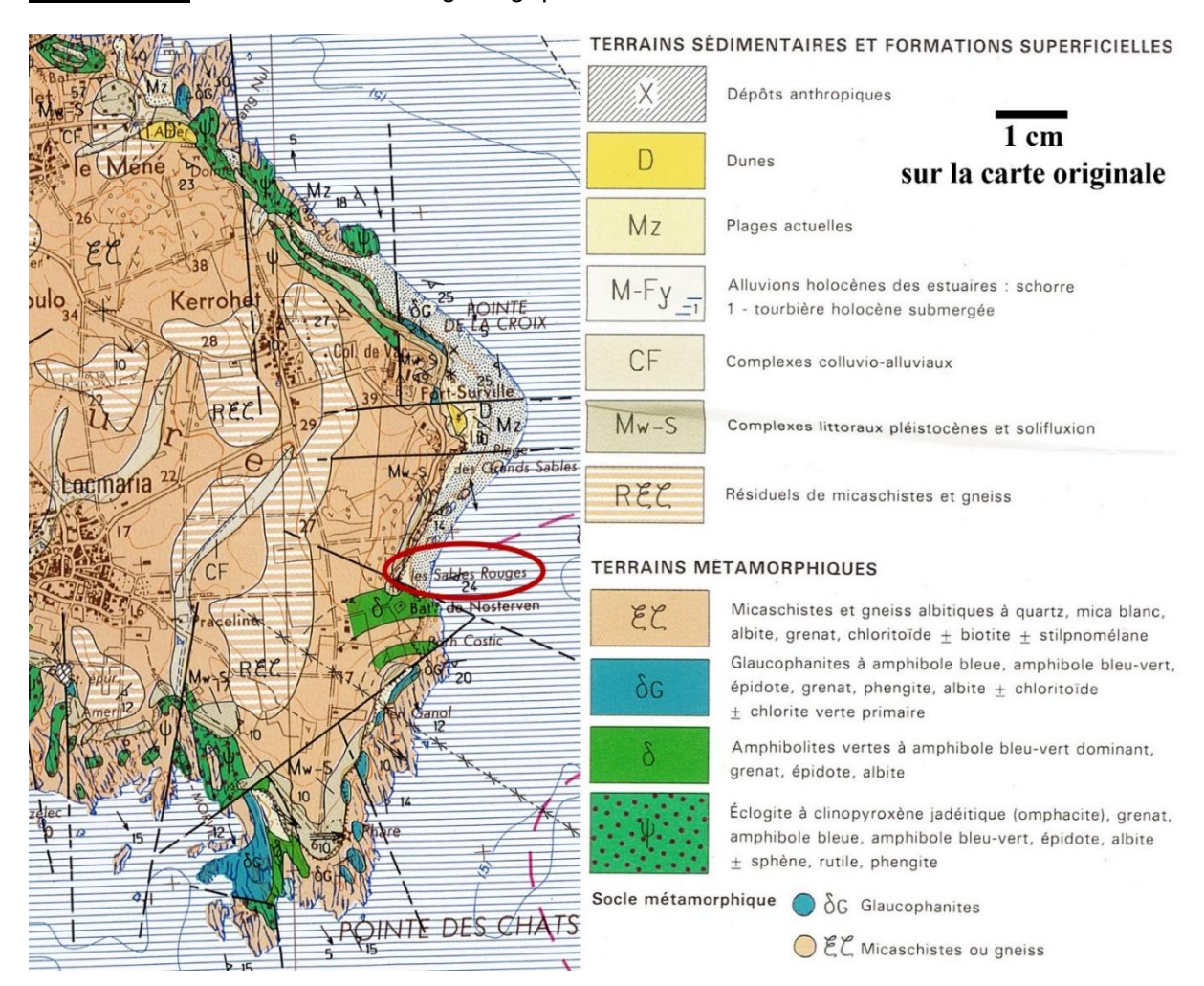
#### Question 7:

- a. Sous la forme d'un schéma, modéliser l'état d'équilibre isostatique entre les points A et B.
- **b**. Exprimer la profondeur p du plancher océanique au point B, prévue par le modèle isostatique à l'équilibre proposé en **a**., en fonction des données du problème :  $H_{CC}$ ,  $H_{CO}$ ,  $d_{ML}$ ,  $d_{CC}$ ,  $d_{CO}$  et  $d_e$ .

Aucune application numérique n'est demandée.

**c**. Interpréter l'anomalie gravimétrique de Bouguer au niveau du point B, en lien avec le modèle isostatique à l'équilibre proposé.

Thème 3 : Plage rouge, métamorphisme et déformations sur l'île de Groix



**<u>Document 8</u>**: Extrait de la carte géologique au 1/50000ème de l'île de Groix.

#### Question 8:

Indiquer succinctement comment est construit ce type de carte.

Sur l'île de Groix, près du village vacances « Les Grenats », la plage des Sables Rouges se distingue par son sable rouge, riche en grenats (zone entourée en rouge, sur le document 8). Cette plage est présentée dans le document 9, page suivante.

#### Question 9:

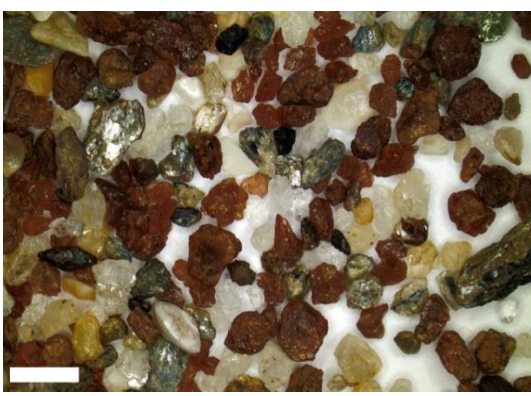
À l'aide des données extraites des documents 8 et 9 ainsi que des connaissances utiles, expliciter les étapes et mécanismes à l'origine de la formation des sables rouges de cette plage. Répondre en 8 lignes maximum et sans schéma.

Sur cette plage, les sédiments sont distribués en trois zones (ou franges), très bien visibles sur le document 9 : une zone de galets centimétriques, puis une zone de sables rouges, puis une zone de sables blancs. La taille des sables rouges et blancs est de l'ordre de 1 mm.

### Question 10:

À l'aide des documents et de vos connaissances, et en exploitant de manière quantitative le **document 10** dans l'annexe, expliquer les mécanismes à l'origine de l'accumulation des sables rouges en une zone marquée, entre les galets centimétriques et les sables blancs.

**<u>Document 9</u>** : Quelques données sur la plage de sable rouge.

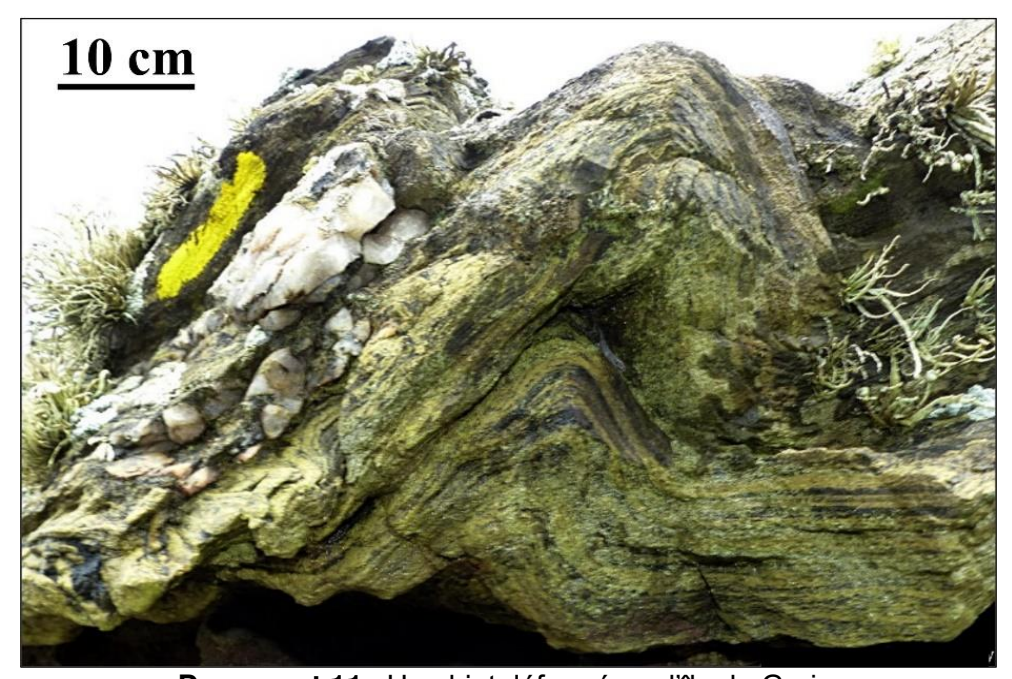


Observation à la loupe des sables rouges : on y voit une majorité de grenats rouges (densité > 3).

Barre d'échelle : 2 mm

Les sables blancs sont riches en quartz et en calcite, tous deux de densité inférieure à 3.

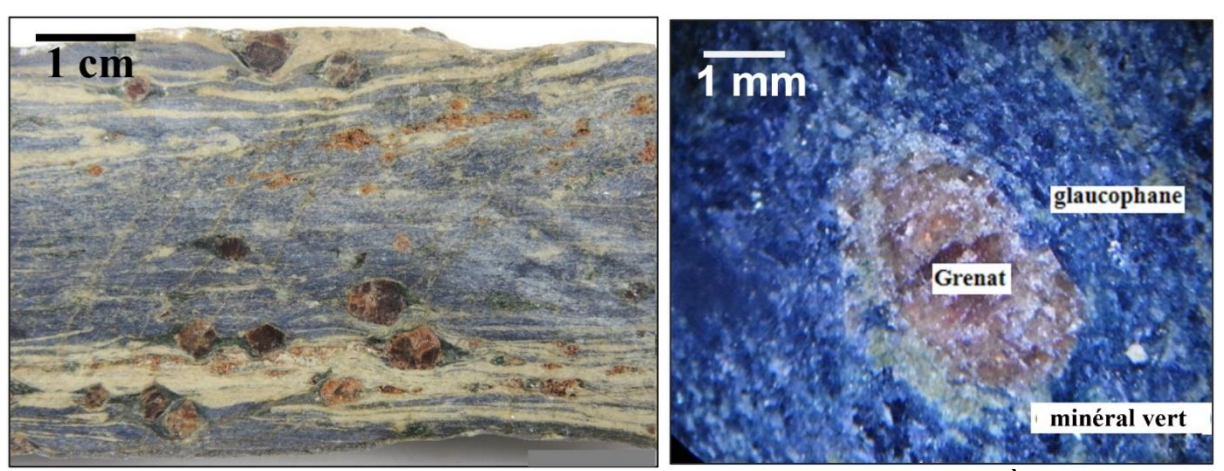




**Document 11** : Un objet déformé sur l'île de Groix.

#### Question 11:

- Réaliser un schéma légendé de cet objet déformé. *Une observation attentive et un vocabulaire précis sont attendus, aucune roche ou minéral n'est à identifier.*
- Décrire et discuter des déformations à l'origine des structures observées.

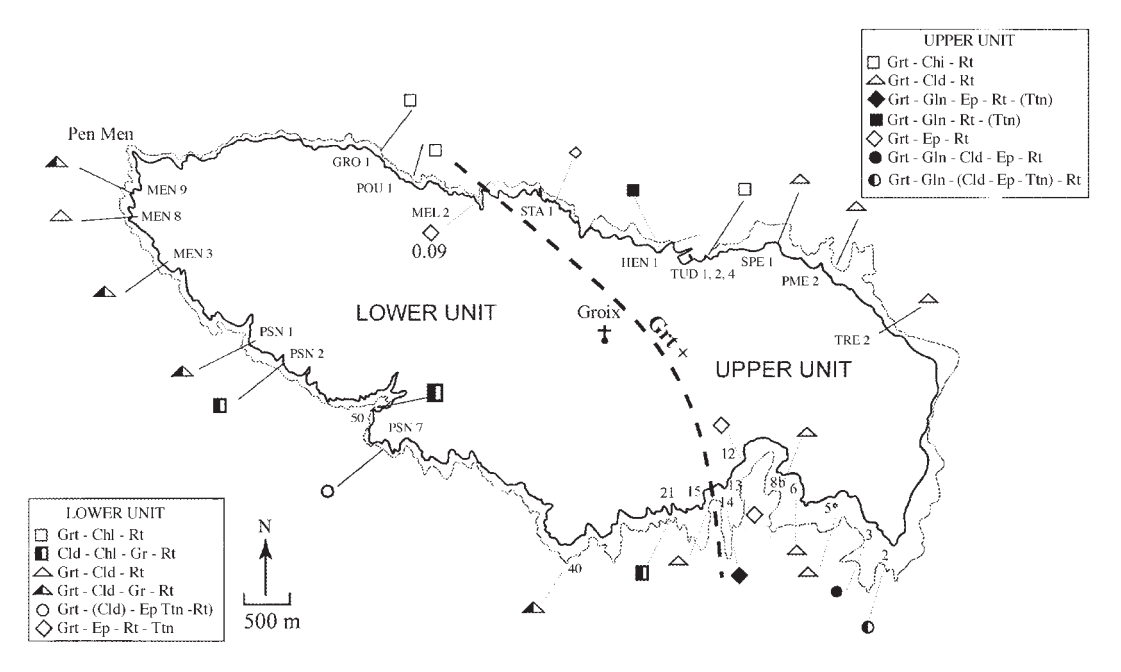


<u>Document 12</u>: Deux roches métamorphiques récoltées sur l'île de Groix. À **gauche**: une roche à identifier. À **droite**: détail d'un minéral vert associé à un grenat. Ce minéral vert apparaît dans le faciès des schistes verts.

#### Question 12:

- Définir les termes suivants : roche métamorphique, faciès métamorphique.
- Décrire et nommer la roche photographiée dans le document 12, à gauche.
- Situer approximativement, dans le document 13 de l'annexe A3, les limites du faciès métamorphique « schistes verts ».
- Exploiter le document 12 pour dessiner, *sur le document 13 dans l'annexe* A3, un chemin (P,T,t) légendé. Préciser le contexte géodynamique auquel il correspond. Le chemin, dessiné sur l'annexe, sera justifié dans la copie.

En réalité, le métamorphisme sur l'île est bien plus complexe, comme le suggère la diversité des paragenèses répertoriées dans le document 14.



<u>Document 14</u>: Diversité des paragenèses observées sur l'île de Groix. Lower unit = unité inférieure. Upper unit = unité supérieure. Grt grenat, Chl chlorite, Rt rutile, Cld chloritoïde, Ep épidote, Ttn titanite, Gln glaucophane.

**Question 13** : Proposer deux hypothèses expliquant la diversité des paragenèses observées sur l'île, en les justifiant à l'aide des documents 8 et 14 et des connaissances utiles.

## SVT, EPREUVE SUR SUPPORT DE DOCUMENTS

# Partie biologie Durée indicative : 1 h 45

L'usage d'abaques, de tables, de calculatrice et de tout instrument électronique susceptible de permettre au candidat d'accéder à des données et de les traiter par les moyens autres que ceux fournis dans le sujet est interdit.

Chaque candidat est responsable de la vérification de son sujet d'épreuve : pagination et impression de chaque page. Ce contrôle doit être fait en début d'épreuve. En cas de doute, il doit alerter au plus tôt le surveillant qui le vérifiera et, éventuellement, remplacera le sujet.

Ce sujet comporte 10 pages numérotées de 11 à 20 et une annexe au format A3 à rendre avec la copie.

Si, au cours de l'épreuve, un candidat repère ce qui lui semble être une erreur d'énoncé, il le signale sur sa copie et poursuit sa composition en expliquant les raisons des initiatives prises.

# Quelques aspects de la lactation

Répondre aux questions posées en construisant méthodiquement l'argumentation sur l'analyse des documents proposés et sur les connaissances, en adéquations avec les consignes explicites propres à chaque question. Les réponses seront précises, concises et structurées.

Le sujet comporte 3 thèmes indépendants. Il est conseillé de traiter les questions dans l'ordre du sujet. Les numéros des questions et des documents étudiés seront clairement indiqués. Aucune introduction, aucune conclusion n'est demandée.

#### Références:

#### Thème 1:

Aupperlee and Jasman (2007). *Endocrinology* 148(5):2290–2300

Caja et al. (2020). J. Dairy Sci. 103:12033-12044

Colleluori et al. (2021). Reviews in Endocrine and Metabolic Disorders 22:241–255.

Davis *et al.* (2015). *PNAS 112(18) 5827–5832* Dee Unglaub Silverthorn. *Human Physiology* (8ème édition)

Haaksma et al. (2011). Biology of Reproduction 85, 13–21

Nickerson et al. (1982). Cell Tissue Res 223:421-430

#### Thème 2:

Wolf et al. (2015). The Journal of Nutrition.

Xie et al. (2017). Agric. Food Chem Zeng et al. (2019). J. Dairy Sci. 102:6726–6737 Zeng et al. (2021). Animals 11(1522)

#### Thème 3:

Bouchon et al. (2019) Boletín técnico: Generación de información y monitoreo del Fenómeno El Niño, Instituto Geofísico del Perú, 6 (8), 5-9.

Castoe et al. (2011). Genome Biology 12:406 Reich and Arnould (2007). Biol. Lett. (2007) 3, 546–549

Foote et al. (2015) Nature Genetics Oftedal et al. (1987) Physiol. Zool. 60(5):560-575.

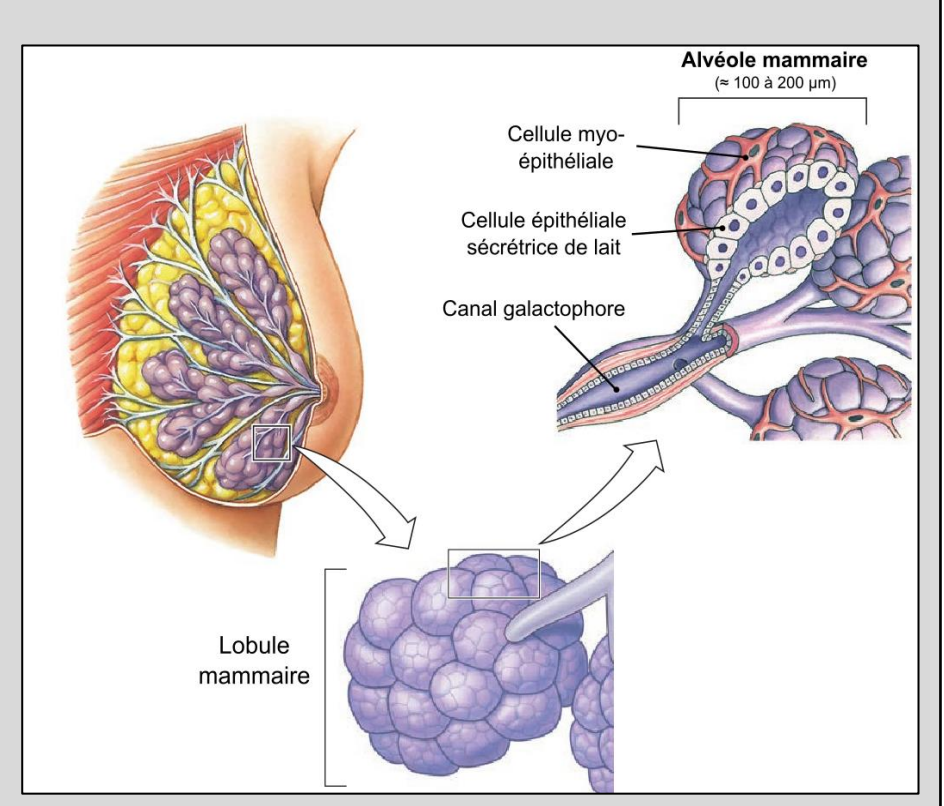
Trillmich et al. (1991), Pinnipeds and El Niño

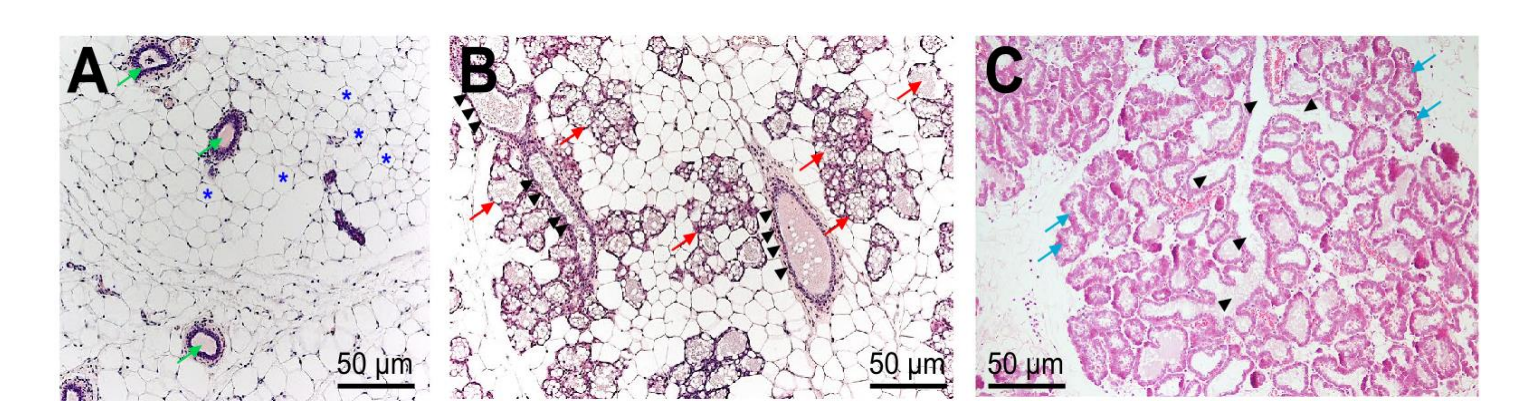
## Thème 1 : Contrôle hormonal de la lactation

Ces informations importantes sont à prendre en compte pour répondre aux questions. Elles ne sont pas à étudier pour elles-mêmes.

Les glandes mammaires sont constituées de nombreuses alvéoles mammaires regroupées en lobules. Chaque alvéole est constituée de cellules épithéliales sécrétrices de lait, entourées de cellules myoépithéliales (cellules musculaires lisses). Une alvéole débouche sur un canal galactophore.

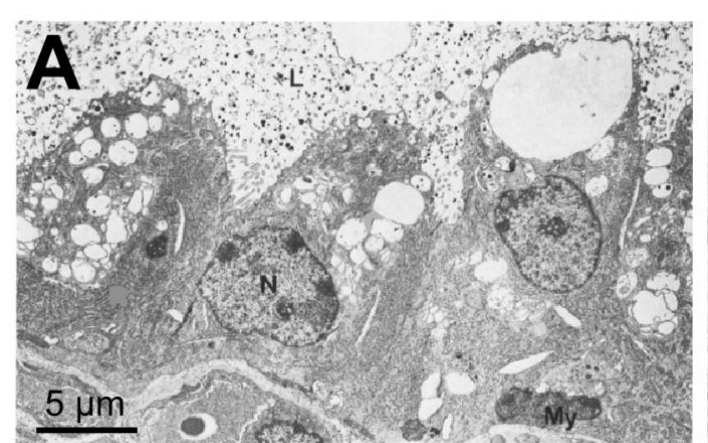
Hormis l'eau, les constituants principaux du lait sont des protéines, des glucides et des lipides.

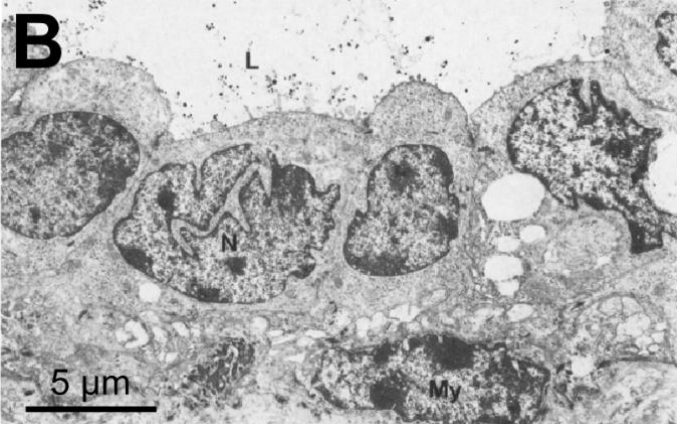




<u>Document 1 :</u> Glandes mammaires de souris femelles observées en microscopie optique (coloration hématoxyline/éosine). A : souris vierge (flèches vertes = vaisseaux sanguins, bleues = adipocytes). B : souris gestante de 18 jours (flèches rouges = alvéoles en cours de formation). C : souris allaitante 14 jours après parturition (flèches bleues = alvéoles formées). Flèches noires = canaux galactophores

**Question 1 –** À partir du document 1, caractériser les grandes lignes du développement des alvéoles mammaires dans le tissu mammaire lors de la lactation. Indiquer le tissu remplacé au cours de ce développement.





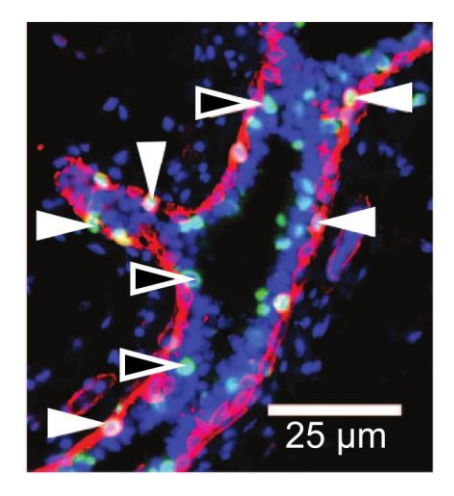
<u>Document 2</u>: Électronographies de souris allaitante (A) ou ayant arrêté d'allaiter depuis plusieurs jours (B). L = lumière de l'alvéole, N = noyau de cellule épithéliale, My = noyau de cellule myoépithéliale.

**Question 2a –** À partir d'une légende judicieusement choisie du document 2 reproduit en annexe, montrer que les cellules épithéliales ont une activité sécrétrice lors de la lactation. **Question 2b –** Sachant que le cytosol en A est plus dense qu'en B, proposer des organites responsables de la synthèse et de la sécrétion des constituants organiques du lait.

<u>Document 3</u>: Glande mammaire de souris après 3 jours de traitement hormonal aux œstrogènes + progestérone. Quelques heures avant leur prélèvement, les cellules sont mises en présence de BrdU, un analogue de la thymine.

Les noyaux cellulaires sont ensuite marqués au DAPI (bleu foncé), les cellules myoépithéliales sont marquées par un anticorps antiactine (rouge), et les cellules ayant incorporé le BrdU fluorescent en vert. Les cellules sont observées en microscopie à fluorescence.

Les pointes de flèches (blanches ou noires) indiquent des cellules doublement marquées (elles présentent une fluorescence dans 2 longueurs d'onde différentes). Sans traitement aux hormones, cette double fluorescence est absente.



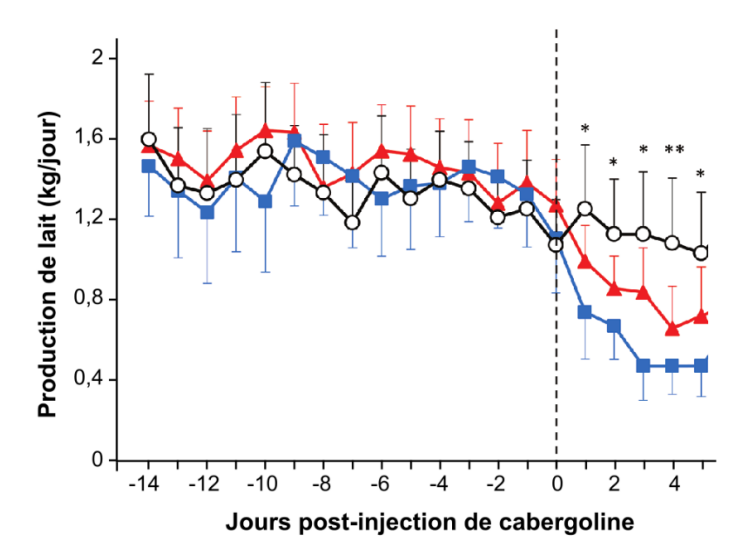
Question 3a - Justifier l'intérêt du BrdU dans le cadre de ce protocole.

**Question 3b –** Indiquer à quel type cellulaire chaque pointe de flèche (blanche ou noire) correspond.

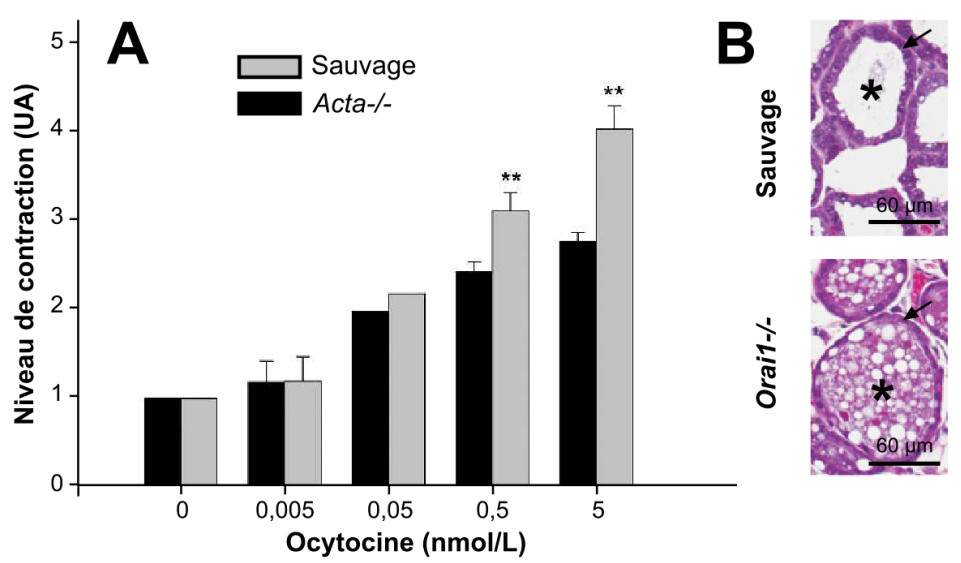
**Question 3c –** Conclure sur l'effet des œstrogènes et de la progestérone sur la prolifération des cellules alvéolaires.

**Document 4 :** Production de lait par 10 brebis avant et après injection de cabergoline, un inhibiteur de la voie de réponse de l'hormone prolactine. Courbe noire = brebis non traitées ; rouge = 1,12 mg de cabergoline ; bleue = 0,56 mg de cabergoline.

\* et \*\* = résultats statistiquement différents entre les 3 conditions.



**Question 4a** – À partir du document 4, déterminer le rôle de la prolactine sur la production de lait. Indiquer ce qui peut paraître étonnant concernant l'effet de la cabergoline. **Question 4b** – Proposer, en justifiant, un type cellulaire de la glande mammaire susceptible de répondre à cette hormone.



<u>Document 5</u>: (A) Contraction des cellules myoépithéliales en fonction de la dose d'ocytocine reçue, pour des souris sauvages et mutantes pour l'actine (*Acta-/-*). \*\* = résultats statistiquement différents.

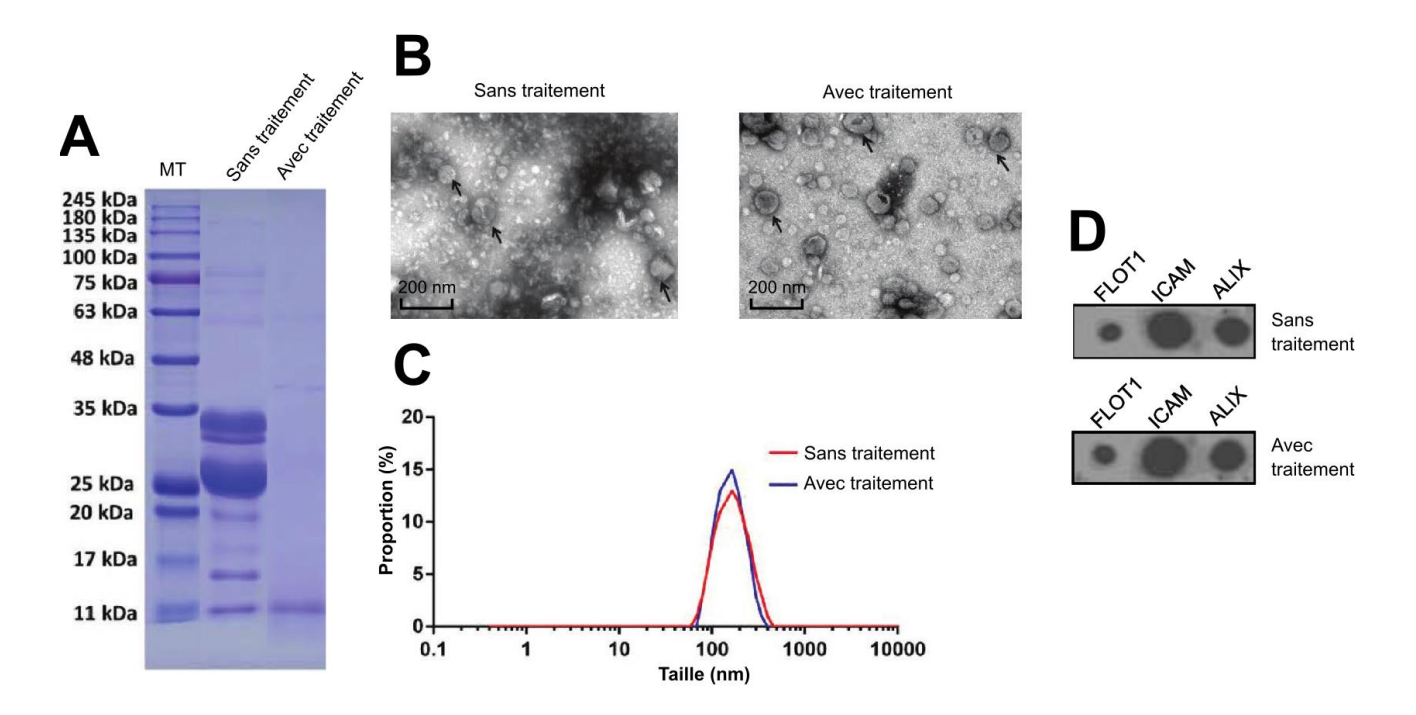
(B) Histologie des glandes mammaires de souris sauvages (haut) ou mutantes pour un canal calcique des cellules myoépithéliales (bas, *Orai1-/-*). Les flèches indiquent les cellules épithéliales sécrétrices et les astérisques la lumière des alvéoles.

**Question 5a –** En analysant l'ensemble du document 5, déterminer l'effet de l'hormone ocytocine sur la sortie du lait de l'alvéole mammaire.

**Question 5b –** Sous forme d'une frise du temps, à orienter verticalement, résumer les grandes étapes entre le développement du tissu mammaire pendant la gestation et la sortie du lait après la parturition (ou mise-bas). Indiquer les hormones impliquées dans ce processus. *On supposera que le lait est produit seulement après la parturition*.

# Thème 2 : Les exosomes, constituants du lait

Les exosomes correspondent à des vésicules extracellulaires retrouvées dans le lait, contenant divers composants.

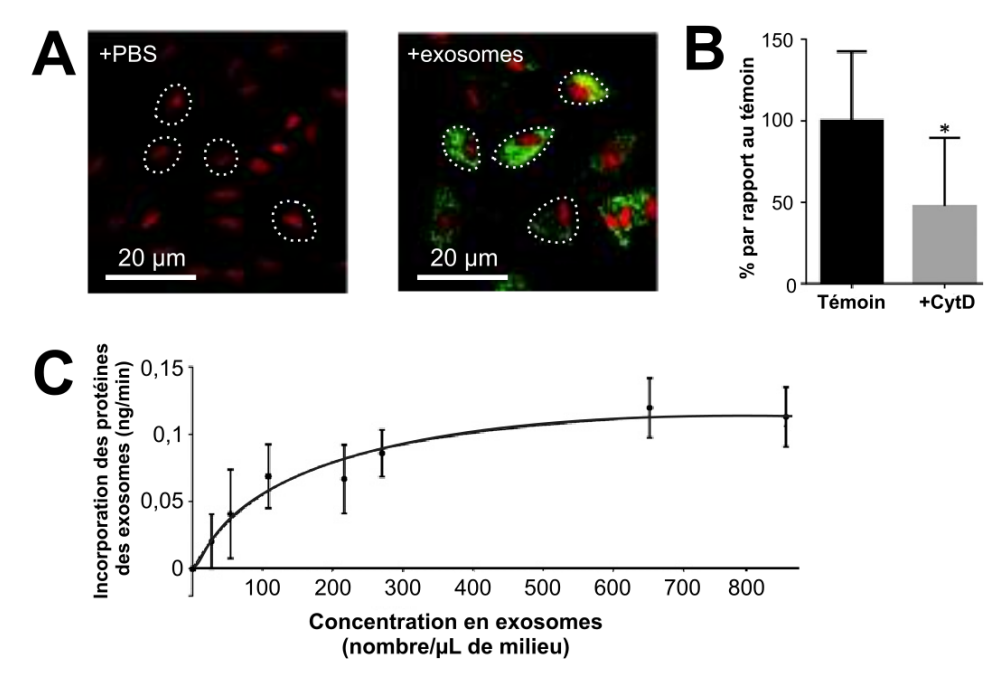


**Document 6 :** On réalise le traitement *in vitro* suivant, mimant les premières étapes de la digestion : 3 mL de lait sont placés dans de la salive (pH = 6,8) pendant 5 minutes, puis dans du suc gastrique (pH = 2) pendant 60 minutes, puis dans du liquide pancréatique (pH = 7) pendant 60 minutes.

- (A) Coloration au bleu de Coomassie (colorant des protéines) d'un gel d'électrophorèse de protéines de lait réalisé en conditions dénaturantes, sans ou avec traitement du lait. MT = marqueur de taille, kDa = kiloDalton.
- (B) Visualisation en microscopie électronique de constituants du lait particuliers, les exosomes (vésicules extracellulaires), sans ou avec traitement du lait. Les flèches indiquent les exosomes.
- (C) Comparaison des tailles des exosomes sans ou avec traitement.
- (D) Western blot révélant 3 protéines contenues dans les exosomes, sans ou avec traitement du lait.

**Question 6a –** À partir de l'analyse du document 6, déterminer le devenir des protéines du lait (libres ou au sein des exosomes) lors de la digestion.

Question 6b - Proposer un rôle pour les exosomes.

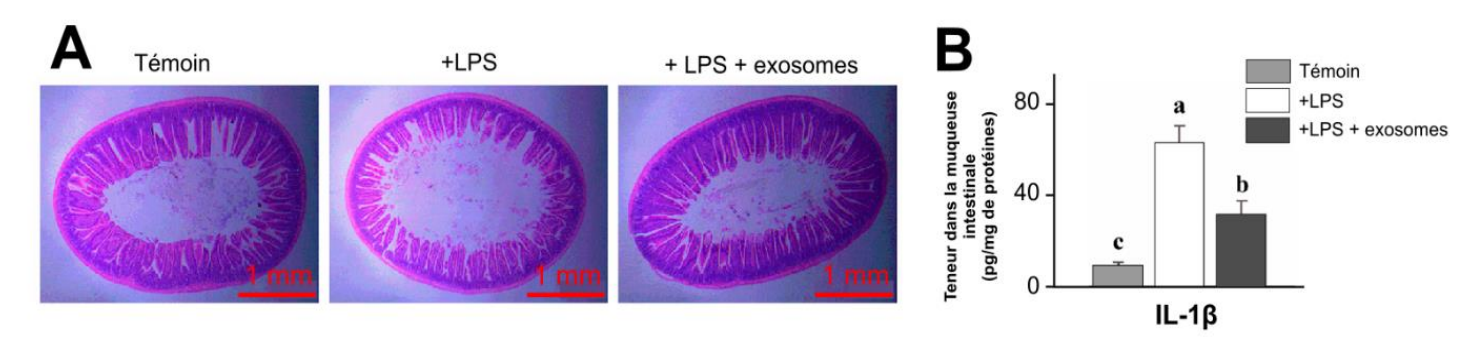


<u>Document 7 :</u> Après traitement selon le protocole précédent, le lait est mis en présence de cellules épithéliales intestinales en culture. (A) : Visualisation en microscopie à fluorescence des noyaux (en rouge) et une protéine des exosomes (en vert). Quelques membranes plasmiques sont indiquées en pointillés. (B) : Nombre d'exosomes internalisés (en % par rapport au témoin) après ajout de cytochalasine D (CytD), un inhibiteur de l'endocytose.

\* = résultats statistiquement différents.

(C): Vitesse d'incorporation des exosomes en fonction de leur concentration dans le milieu.

**Question 7 –** À partir d'une analyse du document 7, montrer que les exosomes sont endocytés après liaison à un récepteur membranaire des cellules intestinales cultivées *in vitro* et qu'une simple fusion avec la membrane plasmique peut être exclue.



<u>Document 8 :</u> On nourrit des souris avec une nourriture standard (témoin) ou avec une nourriture enrichie en LPS (+LPS) ou LPS et exosomes (+LPS + exosomes). Le LPS (lipopolysaccharide) est un constituant de la membrane externe des bactéries Gram(-) telles que *Escherichia coli*. (A) Coupes d'intestins de souris. (B) Mesure du taux d'IL-1 $\beta$  dans la muqueuse intestinale des souris. Des lettres différentes correspondent à des résultats statistiquement différents.

Note : IL-1\beta est une molécule du système immunitaire produite en cas d'inflammation.

**Question 8 –** À partir de l'analyse du document 8, déterminer la fonction des exosomes dans l'inflammation.

#### **Document 9:**

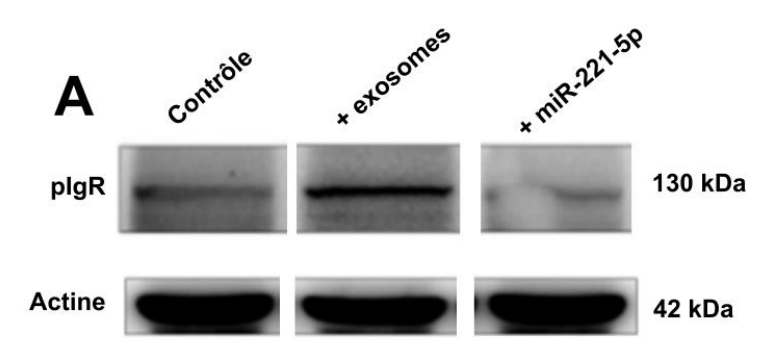
A: On met des cellules épithéliales d'intestin de souris en culture dans différentes conditions, puis on réalise un Western blot utilisant des anticorps ciblant plgR ou l'actine.

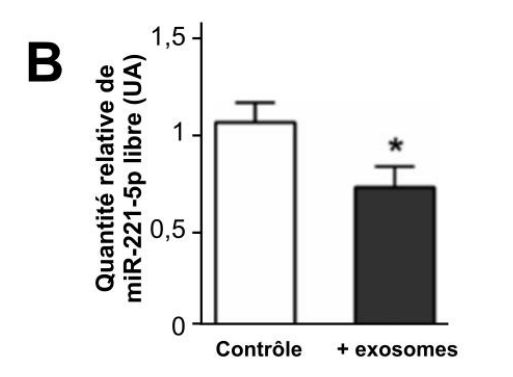
Contrôle = cellules non traitées :

+ exosomes = cellules mises en présence d'exosomes ; + miR-221-5p = cellules transformées avec un ARN de petite taille.

B : Mesure de la quantité relative de miR-221-5p libre dans le cytosol des cellules épithéliales en présence ou non d'exosomes.

<u>Note</u>: plgR est une protéine des cellules de la muqueuse intestinale qui permet de transférer des anticorps depuis le milieu intérieur vers la lumière de l'intestin.





**Question 9a –** À partir de l'analyse du document 9A et des connaissances utiles sur les petits ARN, réaliser un schéma explicitant la fonction et le mode d'action de miR-221-5p dans les cellules intestinales.

**Question 9b** – Sachant que les exosomes contiennent également de petits ARN circulaires et simple brin, schématiser un mécanisme moléculaire expliquant la variation de miR-221-5p libre observée dans le document 9B.

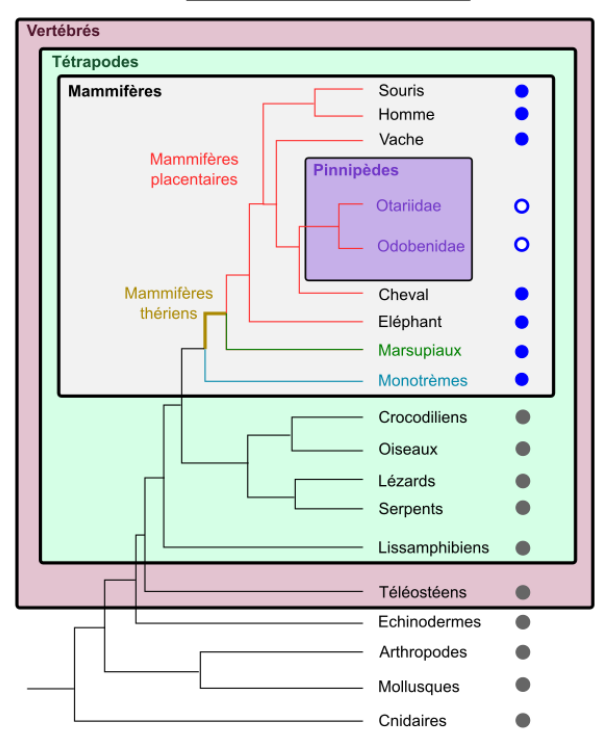
**Question 9c –** En faisant le lien avec les réponses à la question 8, rassembler toutes les données disponibles pour proposer un mode d'action des exosomes dans la défense de l'organisme contre un pathogène.

# Thème 3 : Le lait des Pinnipèdes

Production de lait
Production de lait sans lactose
Pas de lait produit
\*

<u>Document 10</u>: Arbre phylogénétique simplifié des Métazoaires.

**Question 10a –** Positionner sur l'arbre des Métazoaires reproduit en annexe l'innovation correspondant à la production de lait. Justifier qu'elle constitue une synapomorphie d'un groupe monophylétique dont on précisera le nom.



La protéine  $\alpha$ -lactalbumine est une protéine du lait appartenant à un complexe enzymatique appelé « lactose synthase » qui synthétise le lactose du lait dans le tissu mammaire. L'expression de la  $\alpha$ -lactalbumine est activée par la prolactine, une hormone protéique, au cours de la lactation.

**Question 10b –** Proposer un scénario évolutif expliquant la présence de lactose dans le lait de l'essentiel des Mammifères et son absence chez les Otariidae et Odobenidae.

Document 11: Extrait de la séquence d'un intron du gène de l'α-lactalbumine chez divers Mammifères.

Vache CTTTTCCATTATCAGGTTGGCCCATAAAC
Cheval CTTTTCCATTATCAGGTTGGCCCATAAAC
Otariidae +
Odobenidae
CTTTTCCATTATCAGGTTGGCCCATAAAC
Phocidae CTTTTCCATTATCAGGTTGGCCCATAAAC

**Question 11a –** Sachant que les Phocidae ("phoques") sont des Pinnipèdes, les positionner dans l'arbre de l'annexe en utilisant le document 11 (aucune justification n'est attendue).

**Question 11b** – Repérer sur l'annexe par une étoile l'événement évolutif d'intérêt mis en évidence par le document 11. Légender et nommer cet événement.

**Question 11c –** Proposer une explication moléculaire expliquant l'absence de lactose du lait des Otariidae et Odobenidae.

**Question 11d –** Proposer un protocole de biologie moléculaire permettant de valider cette proposition.

Le lait des femelles Otariidae est relativement pauvre en glucides (en lactose en particulier). À l'inverse, il est plus riche en lipides qui proviennent de l'alimentation des mères allaitantes (poissons essentiellement). On s'intéresse ici à l'impact de paramètres climatiques sur la survie des jeunes (appelés « chiots ») allaités d'une population d'otaries de l'île de San Nicolas, au large de la Californie (Pacifique oriental).

#### Document 12-1:

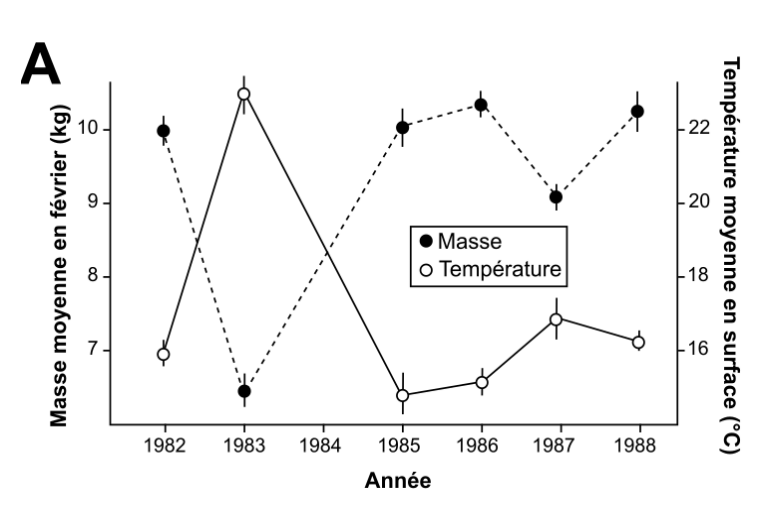
A : Masse moyenne des chiots en février et températures de surface des eaux du Pacifique

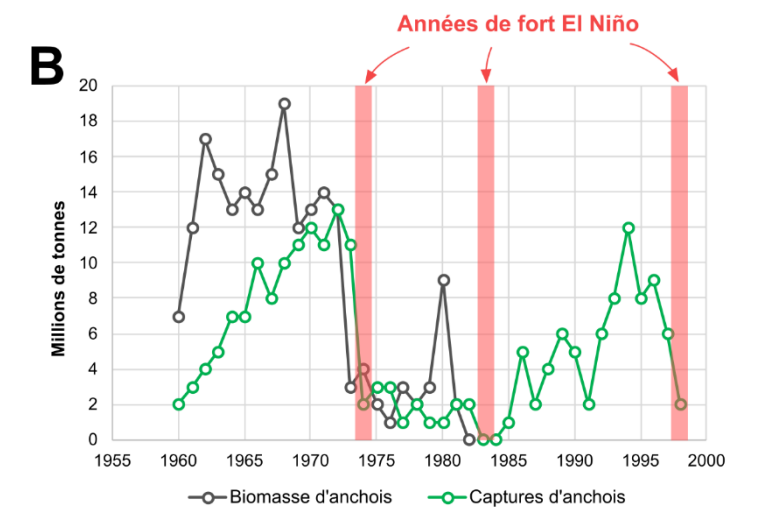
B : Captures d'anchois au large du Pérou, dans le Pacifique oriental. Les années de « fort El Niño » sont indiquées. Les anchois se nourrissent de plancton plus abondant dans les eaux froides riches en nutriments.

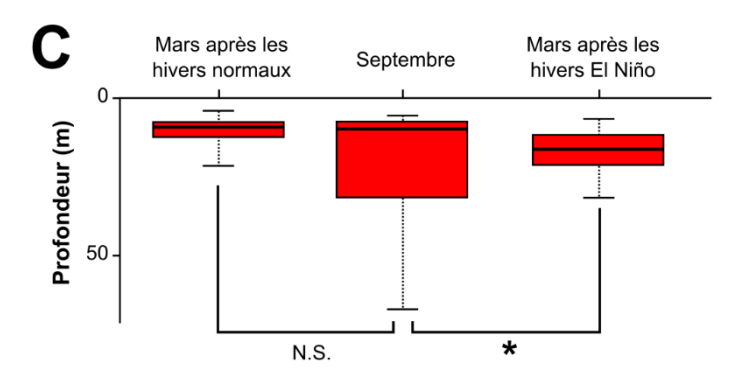
C: Profondeur des anchois, proies principales des otaries; on donne les résultats en septembre et mars d'années normales sans El Niño ou avec El Niño.

\* = résultats statistiquement différents (N.S. = différence non significative).

D : Quelques éléments sur le phénomène climatique El Niño.







# D

El Niño désigne un phénomène climatique qui est caractérisé par des températures anormalement élevées de l'eau dans l'Est du Pacifique aux mois de décembre à mars. Son apparition empêche la remontée des courants d'eaux froides riches en nutriments (upwellings) le long des côtes.

<u>Tableau 12-2</u>: Croissance, apports en lait et apport énergétiques chez des chiots d'otaries de Californie allaités avant (1982) et après (1984) un phénomène El Niño.

<sup>\* :</sup> résultats statistiquement différents (N.S. = différence non significative).

Paramètre mesuré	1982		1984		Résultat du test statistique de
	Mâles (n=7)	Femelles (n=7)	Mâles (n=4)	Femelles (n=4)	comparaison 1982 vs 1984
Poids initial (kg)	9,09	7,59	8,75	7,84	NS
Gain quotidien (g)	144,1	120	107,5	95	*
Teneur en eau du corps (%)	70,7	68,1	74	71,1	*
Lait ingéré (g/jour)	831	641	683	596	*
Apports caloriques (kcal/jour)	2834	2187	2328	2032	*

**Question 12 –** Analyser conjointement l'ensemble des documents 12-1 et le tableau 12-2 pour aboutir à un lien entre le phénomène climatique El Niño, l'abondance et la profondeur des anchois, l'alimentation des otaries, l'allaitement des jeunes et la température des eaux de surface.

La réponse sera présentée sous forme graphique (par exemple sous forme de carte mentale, carte conceptuelle, séquence de schémas...). Les relations de cause à effet ainsi que les documents utilisés pour l'argumentation seront clairement indiqués.

### **FIN DU SUJET**